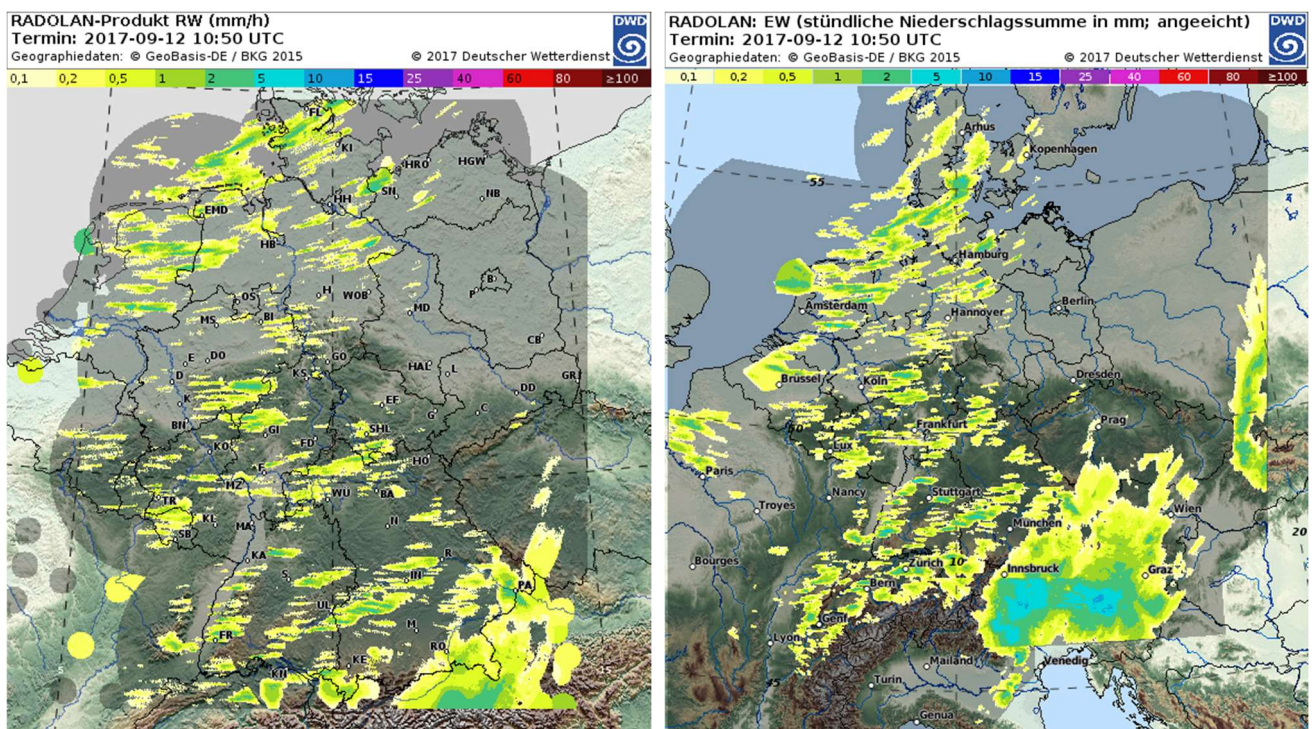


RADOLAN/RADVOR

Hoch aufgelöste Niederschlagsanalyse und –vorhersage auf der Basis quantitativer Radar- und Ombrometerdaten für grenzüberschreitende Fluss-Einzugsgebiete von Deutschland im Echtzeitbetrieb

Beschreibung des Kompositformats Version 2.5.8



**Deutscher Wetterdienst
Abteilung Hydrometeorologie**

<http://www.dwd.de/radolan>

<http://www.dwd.de/radvor>

10. Januar 2024

Inhaltsverzeichnis

| | |
|--|----|
| Inhaltsverzeichnis | 2 |
| Versionshistorie | 3 |
| 1. Formatbeschreibung des binären Kompositformats | 5 |
| 1.1 ASCII-Header | 5 |
| 1.2 Binärdaten | 13 |
| 1.3 Georeferenzierung | 14 |
| 1.4 Darstellung in ArcGIS | 17 |
| 1.5 Geografische Dateien | 18 |
| 2. Tabelle der verwendeten deutschen Radarstandortkürzel im ASCII-Header | 19 |
| 3. Erweiterung um benachbarte ausländische Radarstandorte | 21 |
| 3.1 Integration des Radars Nancy | 21 |
| 3.2 Räumliche Erweiterung und Integration weiterer ausländischer Radare | 21 |
| 4. Verschiedenes | 24 |
| 4.1 Informationen im ASCII-Header | 24 |
| 4.2 Nachaneichung und Übersicht der Aneichstationen | 24 |
| 4.3 Radarklimatologie und Starkniederschlagskatalog | 25 |
| 5. Literaturverzeichnis | 26 |

Versionshistorie

| Version | Datum | Autor | Änderung |
|---------|---------------------------|---|---|
| 1.0 | 30.04.2003 | Daniel Sacher Fa. MeteoSolutions GmbH | Erstellung |
| 1.3 | 29.02.2004 | Elmar Weigl DWD-KU41 | Erweiterung der Kennung VS; Aufnahme der Kennungen SW und PR |
| 2.0 | 06.12.2005 | Elmar Weigl Elmar.Weigl@dwd.de | Abgestimmte Version zur Anwendung für den experimentellen Testbetrieb des RADAR-Now-castings innerhalb RADVOR-OP; neue Kapitel „Erweiterung um benachbarte ausländische Radarstandorte“ und „Literaturverzeichnis“; Ergänzung um Deckblatt und Inhaltsverzeichnis |
| 2.2 | 03.08.2009 | Dr. Tanja Winterrath DWD-KU42A | Ersatz der Abb. 1 und 3; Erweiterung der Projektionsbeschreibung; Einführung des RE-Produkts in RADVOR-OP; Ergänzung einer GIS-Anleitung (1.5) und der geografischen Dateien (1.6) |
| 2.2.1 | 21.08.2009 | Elmar Weigl DWD-KU42A | Aktualisierung aufgrund der Operationalisierung von RADOLAN-ME |
| 2.2.2 | 30.07.2010- 01.06.2011 | Elmar Weigl | Ergänzung in 1.1 bei den Headerkennungen VS und GP; Ergänzung in 1.2; Geografische Koordinaten der deutschen Radarstandorte nach Potsdam-Datum in 2.; Aktualisierung der Radarstandorttabellen (national in 2.; international in 3.2) |
| 2.3 | 26.05.2015 | Dr. Tanja Winterrath Elmar Weigl | Ergänzung um neue RADVOR- und RADOLAN-Produkte, Aktualisierung des gesamten Textes, Entfernen des Anhangs |
| 2.3.1 | 13.01.2016 | Elmar Weigl | Ergänzung um eine Grafik zur Erklärung der Unterschiede der beiden nationalen Komposits in 1.2 und um eine Tabelle mit den Eckpunkten des mitteleuropäischen Komposits in 3.2 |
| 2.4 | 31.08.2016 | Elmar Weigl | Änderung des ASCII-Headers bei den Produkten RW, RU und EW; Neue Radarprodukte; Änderung der Headerkennungen INT, MF und MS bei einigen Radarprodukten in 1.1 |
| 2.4.1 | 14.09.2017 | Elmar Weigl | Aktualisierung der Kap. 3.2 und 4 aufgrund der Integration österreichischer Radardaten in RADOLAN-ME |
| 2.4.2 | 26.10.2017 | Elmar Weigl | Aufnahme der neuen Summenprodukte S2 und S3 in 1.1 |
| 2.4.3 | 25.04.2018 | Elmar Weigl | Aktualisierung der Tabelle in Kap. 2 und der Abb. 6 (Aufnahme des Ausfallsicherungsradars Borkum) |
| 2.4.4 | 08.08.2018 | Elmar Weigl | Aktualisierung der Tabelle in Kap. 2 sowie der Kap. 3.2 und 4 aufgrund der Integration des französischen Radarkomposits in RADOLAN-ME |

| Version | Datum | Autor | Änderung |
|---------|------------|----------------------|---|
| 2.4.5 | 31.05.2019 | Elmar Weigl | Aufnahme der neuen Summenprodukte SM und SJ in 1.1, Erklärung des 13.-16. Bits in Kap. 1.2 sowie Aktualisierung der Abb. 2 und der beiden letzten Gleichungen in Kap. 1.3 |
| 2.5 | 17.10.2019 | Dr. Tanja Winterrath | Aktualisierung aufgrund der Änderungen im Rahmen der Operationalisierung von POLARA-Winterwetter |
| 2.5.1 | 08.10.2020 | Elmar Weigl | Aufnahme des neuen Summenproduktes SY in 1.1 und Aktualisierung des Kap. 4 und der Abb. 5 aufgrund der Integration weiterer ausländischer Stationsdaten (französisches Moseleinzugsgebiet, Polen) für die Aneichung |
| 2.5.2 | 13.04.2021 | Elmar Weigl | Aufnahme neuer Produkte (YW, ZW, %M, %J und %Y) in 1.1 und Aktualisierung des Kap. 4 und der Abb. 5 aufgrund der Integration belgischer Stationsdaten für die Aneichung |
| 2.5.3 | 06.05.2021 | Elmar Weigl | Aktualisierung des Kap. 2 |
| 2.5.4 | 16.11.2022 | Elmar Weigl | Erklärung der Kennung RM im Header und Aktualisierung der Kennung BY und VS im Header (Kap. 1.1); Neustrukturierung der Kap. 1.2 bis 1.5; Korrektur der Koordinaten von ASB im Kap. 2; Aktualisierung des Kap. 4.3 |
| 2.5.5 | 10.01.2023 | Elmar Weigl | Aufnahme neuer Produkte (SZ, AM, AZ und AJ) in 1.1 |
| 2.5.6 | 25.01.2023 | Elmar Weigl | Aktualisierung des Kap. 2 |
| 2.5.7 | 23.03.2023 | Elmar Weigl | Aktualisierung des Kap. 2 |
| 2.5.8 | 10.01.2024 | Elmar Weigl | Aufnahme neuer Produkte (%Z und WW) und Erweiterung des Kap. 1.2 wegen der WW-Daten |

1. Formatbeschreibung des binären Kompositformats

Dieses Format wird für die zentral zu einem Komposit verarbeiteten quantitativen Radarniederschlagsdaten (**quantitative Radarkomposits**) verwendet. Darüber hinaus können damit aber auch andere in der untenstehenden Tabelle als solche gekennzeichnete Daten gespeichert werden.

Alle Ergebnisse und Zwischenergebnisse der Radaraneichung (auf Kompositdaten basierend: online im Rahmen des Verfahrens RADOLAN [DWD, 2004] und offline im Rahmen der RADOLAN-Reanalyse) sowie des RADAR-Nowcastings im Rahmen des Verfahrens RADVOR [DWD, 2005a] werden in diesem Format gespeichert. Diese Komposits liegen in polarstereografischer Projektion vor (weitere Informationen s. entsprechende Abschnitte dieses Dokuments).

Die Visualisierung der meisten quantitativen Radarniederschlagskomposits ist mittels IDLRaBiD, Version 5.1 [DWD, 2011] möglich. Im Wettervorhersagedienst des DWD werden verschiedene RADOLAN- und RADVOR-Produkte mittels NinJo (s. <http://www.dwd.de/ninjo>) visualisiert.

1.1 ASCII-Header

Im Folgenden wird in der 1. Spalte das Format und in der 2. - 4. Spalte die Erklärung angegeben.

| FORTTRAN-Bezeichner | Produktkennung | Dateiname | Inhalt |
|---------------------|----------------|---|---|
| A2 | WX | raa01-wx_10000-YYMMD-Dhhmm-dwd---bin (INT=5min) | qualitätskorrigierte Original Radardaten in qualitativen rvp-6-Einheiten, Codierung in 1 Byte, im erweiterten nationalen Ausschnitt |
| A2 | RX | raa01-rx_10000-YYMMDDhhmm-dwd---bin (INT=5min) | Original Radardaten in qualitativen rvp-6-Einheiten, Codierung in 1 Byte |
| A2 | RO | termocl.pix (INT=60min) bzw. raa01-ro_10000-YYMMD-Dhhmm-dwd---bin (INT=5min) | Original Radardaten, mit Standard-Z-R-Beziehung in Niederschlagshöhen umgerechnet |
| A2 | RK | antish.pix (INT=60min) bzw. raa01-rk_10000-YYMMDDhhmm-dwd---bin (INT=5min) | Radardaten nach Abschattungskorrektur, mit Standard-Z-R-Beziehung in Niederschlagshöhen umgerechnet |
| A2 | RZ | raa01-rz_10000-YYMMDDhhmm-dwd---bin (INT=5min) | Radardaten nach Abschattungskorrektur und nach Anwendung der verfeinerten Z-R-Beziehungen in Niederschlagshöhen umgerechnet |
| A2 | RY | raa01-ry_10000-YYMMDDhhmm-dwd---bin (INT=5min) | durch das Qualitätskomposit (QY s. gesonderte Formatbeschreibung in [DWD, 2005b]) korrigierte Radardaten |
| A2 | YW | raa01-yw_10000-YYMMD-Dhhmm-dwd---bin (INT=5min) | quasi-angeeichte Radardaten (Basis: RY, RH und RW) |
| A2 | ZW | raa01-zw_10000-YYMMD-Dhhmm-dwd---bin (INT=10min) | quasi-angeeichte Radardaten (Basis: YW) |
| A2 | RH | trigger.pix (INT=60min; um hh:35) bzw. bestrain.pix (INT=60min; um hh:45) bzw. raa01-rh_10000-YYMMD-Dhhmm-dwd---bin (INT=60min; alle 5 min) | Radardaten nach Abschattungskorrektur und nach Anwendung der verfeinerten Z-R-Beziehungen in Niederschlagshöhen umgerechnet und auf eine Stunde aufsummiert |

| FORTTRAN- Bezeichner | Produkt- kennung | Dateiname | Inhalt |
|---------------------------------|-----------------------------|--|--|
| A2 | RJ | state.trigger.pix (um hh:35) bzw. state.bestrain.pix (um hh:45) | Anzahl am RH beteiligter fünf- minütlicher lokaler Radardaten für jedes Pixel (keine Radardaten) |
| A2 | RP | kooclu.pix | relative Pixelhäufigkeit (keine Ra- dardaten) |
| A2 | RT | maxclu.pix | Anzahl Vortermine für jedes Pixel (keine Radardaten) |
| A2 | RC | ihvkoo.pix | Radardaten nach statistischer Clut- terkorrektur ohne Clutterpixel |
| A2 | RI | intclu.pix | Radardaten nach statistischer Clut- terkorrektur ohne Clutterpixel; inter- poliert |
| A2 | RG | glatt8.pix | Radardaten nach Glättung mit dem Mittelwertsfilter (sog. BOGRA-Ver- fahren) |
| A2 | RB | borama.pix bzw. raa01-rb_10000-YYMMD- Dhhmm-dwd---bin | Radardaten nach Anwendung ei- nes Faktors (Voraneichung mit dem sog. BORAMA-Verfahren) |
| A2 | RA | addiff.interim.pix bzw. addiff.rele- vant.pix | Radardaten nach Aneichung mit dem Differenzenverfahren; inte- rim=ohne Kontrollstationen, rele- vant=mit allen Stationen |
| A2 | RM | mul fak.interim.pix bzw. mul fak.rele- vant.pix | Radardaten nach Aneichung mit dem Faktorenverfahren; inte- rim=ohne Kontrollstationen, rele- vant=mit allen Stationen |
| A2 | RL | merge.interim.pix bzw. merge.rel- evant.pix | Radardaten nach Aneichung mit dem Mergingverfahren; inte- rim=ohne Kontrollstationen, rele- vant=mit allen Stationen |
| A2 | RD | dbr.interim.pix bzw. dbr.rele- vant.pix | interpolierte Aneichdifferenzen (keine Radardaten); interim=ohne Kontrollstationen, relevant=mit al- len Stationen |
| A2 | RF | fbr.interim.pix bzw. fbr.rele- vant.pix | interpolierte Aneichfaktoren (keine Radardaten); interim=ohne Kon- trollstationen, relevant=mit allen Stationen |
| A2 | RW | adjust.pix bzw. raa01-rw_10000-YYMMD- Dhhmm-dwd---bin | Endergebnis der Aneichung nach Durchführung der gewichteten Mit- telung von Differenzen- und Fakto- renverfahren ¹ |
| A2 | RU | adjust.merge.pix bzw. raa01-ru_10000-YYMMD- Dhhmm-dwd---bin | Endergebnis der Aneichung nach Durchführung der gewichteten Mit- telung von Differenzen-, Faktoren- und Mergingverfahren |

¹ ab Softwareversion 2.0 werden Radarlücken mit interpolierten Bodenniederschlagshöhen ersetzt

| FORTTRAN- Bezeichner | Produkt- kennung | Dateiname | Inhalt |
|---------------------------------|-----------------------------|--|---|
| A2 | RR | bod.pix | interpolierte Bodenniederschlags- höhen (keine Radardaten) nach dem RADOLAN-Verfahren |
| A2 | S2 | raa01-s2_10000-YYMMD- Dhhmm-dwd---bin | 2h-aufsummiertes Endergebnis der Aneichung nach Durchführung der gewichteten Mittelung von Differen- zen- und Faktorenverfahren |
| A2 | S3 | raa01-s3_10000-YYMMD- Dhhmm-dwd---bin | 3h-aufsummiertes Endergebnis der Aneichung nach Durchführung der gewichteten Mittelung von Differen- zen- und Faktorenverfahren |
| A2 | SQ | raa01-sq_10000-YYMMD- Dhhmm-dwd---bin | 6h-aufsummiertes Endergebnis der Aneichung nach Durchführung der gewichteten Mittelung von Differen- zen- und Faktorenverfahren |
| A2 | SH | raa01-sh_10000-YYMMD- Dhhmm-dwd---bin | 12h-aufsummiertes Endergebnis der Aneichung nach Durchführung der gewichteten Mittelung von Dif- ferenzen- und Faktorenverfahren |
| A2 | SF | raa01-sf_10000-YYMMD Dhhmm-dwd---bin | 24h-aufsummiertes Endergebnis der Aneichung nach Durchführung der gewichteten Mittelung von Dif- ferenzen- und Faktorenverfahren |
| A2 | SM | raa01-sm_10000-YYMMD- Dhhmm-dwd---bin | täglich ab dem 1. Tag des Monats bis zum 1. Tag des Folgemonats fortlaufend aufsummiertes Ender- gebnis der Aneichung nach Durch- führung der gewichteten Mittelung von Differenzen- und Faktorenver- fahren |
| A2 | SZ | raa01-sz_10000-YYMMD- Dhhmm-dwd---bin | täglich ab dem 1. Tag der meteoro- logischen Jahreszeit bis zum 1. Tag der Folgejahreszeit aufsum- miertes Endergebnis der Anei- chung nach Durchführung der ge- gewichteten Mittelung von Differen- zen- und Faktorenverfahren |
| A2 | SJ | raa01-sj_10000-YYMMD Dhhmm-dwd---bin | täglich ab dem 01.01. bis zum 1. Tag des Folgejahres aufsummier- tes Endergebnis der Aneichung nach Durchführung der gewichte- ten Mittelung von Differenzen- und Faktorenverfahren |
| A2 | SY | raa01-sy_10000-YYMMD- Dhhmm-dwd---bin | täglich ab dem 01.11. bis zum 1. Tag des folgenden hydrologischen Jahres aufsummiertes Endergebnis der Aneichung nach Durchführung der gewichteten Mittelung von Dif- ferenzen- und Faktorenverfahren |

| FORTTRAN- Bezeichner | Produkt- kennung | Dateiname | Inhalt |
|---------------------------------|-----------------------------|--|--|
| A2 | %M | raa01-%m_10000-YYMMD- Dhhmm-dwd---bin | täglich ab dem 1. Tag des Monats bis zum 1. Tag des Folgemonats fortlaufend aufsummiertes, zum 30-jährigen Mittel relatives Endergebnis der Aneichung nach Durchführung der gewichteten Mittelung von Differenzen- und Faktorenverfahren |
| A2 | AM | raa01-am_10000-YYMMD- Dhhmm-dwd---bin | täglich ab dem 1. Tag des Monats bis zum 1. Tag des Folgemonats fortlaufend aufsummiertes, zum 30-jährigen Mittel des kompletten Monats relatives Endergebnis der Aneichung nach Durchführung der gewichteten Mittelung von Differenzen- und Faktorenverfahren |
| A2 | %Z | raa01-%z_10000-YYMMD- Dhhmm-dwd---bin | täglich ab dem 1. Tag der meteorologischen Jahreszeit bis zum 1. Tag der Folgejahreszeit fortlaufend aufsummiertes, zum 30-jährigen Mittel relatives Endergebnis der Aneichung nach Durchführung der gewichteten Mittelung von Differenzen- und Faktorenverfahren |
| A2 | AZ | raa01-az_10000-YYMMD- Dhhmm-dwd---bin | täglich ab dem 1. Tag der meteorologischen Jahreszeit bis zum 1. Tag der Folgejahreszeit fortlaufend aufsummiertes, zum 30-jährigen Mittel der kompletten meteorologischen Jahreszeit relatives Endergebnis der Aneichung nach Durchführung der gewichteten Mittelung von Differenzen- und Faktorenverfahren |
| A2 | %J | raa01-%j_10000-YYMMD- Dhhmm-dwd---bin | täglich ab dem 01.01. bis zum 1. Tag des Folgejahres aufsummiertes, zum 30-jährigen Mittel relatives Endergebnis der Aneichung nach Durchführung der gewichteten Mittelung von Differenzen- und Faktorenverfahren |
| A2 | AJ | raa01-aj_10000-YYMMDDhhmm- dwd---bin | täglich ab dem 01.01. bis zum 1. Tag des Folgejahres aufsummiertes, zum 30-jährigen Mittel des kompletten Jahres relatives Endergebnis der Aneichung nach Durchführung der gewichteten Mittelung von Differenzen- und Faktorenverfahren |
| A2 | %Y | raa01-%y_10000-YYMMD- Dhhmm-dwd---bin | täglich ab dem 01.11. bis zum 1. Tag des folgenden hydrologischen |

| FORTTRAN- Bezeichner | Produkt- kennung | Dateiname | Inhalt |
|---------------------------------|-----------------------------|---|--|
| | | | Jahres aufsummiertes, zum 30-jährigen Mittel relatives Endergebnis der Aneichung nach Durchführung der gewichteten Mittelung von Differenzen- und Faktorenverfahren |
| A2 | D2 | raa01-d2_10000-YYMMD-Dhhmm-dwd---bin | 48h-aufsummiertes Endergebnis der Aneichung nach Durchführung der gewichteten Mittelung von Differenzen- und Faktorenverfahren |
| A2 | D3 | raa01-d3_10000-YYMMD-Dhhmm-dwd---bin | 72h-aufsummiertes Endergebnis der Aneichung nach Durchführung der gewichteten Mittelung von Differenzen- und Faktorenverfahren |
| A2 | W1 | raa01-w1_10000-YYMMD-Dhhmm-dwd---bin | 7d-aufsummiertes Endergebnis der Aneichung nach Durchführung der gewichteten Mittelung von Differenzen- und Faktorenverfahren |
| A2 | W2 | raa01-w2_10000-YYMMD-Dhhmm-dwd---bin | 14d-aufsummiertes Endergebnis der Aneichung nach Durchführung der gewichteten Mittelung von Differenzen- und Faktorenverfahren |
| A2 | W3 | raa01-w3_10000-YYMMD-Dhhmm-dwd---bin | 21d-aufsummiertes Endergebnis der Aneichung nach Durchführung der gewichteten Mittelung von Differenzen- und Faktorenverfahren |
| A2 | W4 | raa01-w4_10000-YYMMD-Dhhmm-dwd---bin | 30d-aufsummiertes Endergebnis der Aneichung nach Durchführung der gewichteten Mittelung von Differenzen- und Faktorenverfahren |
| A2 | WW | raa01-ww_10000-YYMMD-Dhhmm-dwd---bin | effektive Warnstufe (keine Radar-daten) auf der Basis der Produkte RW (maximal aufsummiert bis zu 72 Stunden) |
| A2 | RV | RVYYMMddhhmm_vvv (INT=5min) | Radardaten, vorhergesagt aus den precipitation scan sweeps; YY=Jahr, MM=Monat, dd=Tag, hh=Stunde, mm=Minute, vvv=vorhergesagter Zeitpunkt in Minuten, bis 24.10.2019 noch mit Suffix „MFxxx“ ² |
| A2 | RS | RSYYMMddhhmm_vvv (INT=60min; alle 5 min) | Radardaten, vorhergesagt aus den precipitation scan sweeps und auf eine Stunde aufsummiert; YY=Jahr, MM=Monat, dd=Tag, hh=Stunde, mm=Minute, vvv=vorhergesagter Zeitpunkt in Minuten, |

² xxx ergibt sich aus dem Dezimalwert der entsprechenden Binärdarstellung: MF001=KONRAD, MF002=ROSENOW, MF003=KONRAD+ROSENOW, MF004=WINTERRATH, MF006=ROSENOW+WINTERRATH, MF007=KONRAD+ROSENOW+WINTERRATH, MF008=Optical Flow aus POLARA

| FORTTRAN-Bezeichner | Produkt-kennung | Dateiname | Inhalt |
|----------------------------|------------------------|---|---|
| | | | bis 24.10.2019 noch mit Suffix „MFxxx“ |
| A2 | RQ | RQYYMMddhhmm_vvv bzw. raa01-rq_10000-YYMMD-Dhhmm_vvv-dwd---bin (INT=60min; alle 15 min) | Radardaten: mit der Verschneidung aus dem RW-Produkt quantifiziertes (quasi-angeeichtes) RS-Produkt |
| A2 | RE | REYYMMddhhmm_vvv (INT=60min; alle 5 min) | Anteil des festen Niederschlags (keine Radardaten) + Hagelflag; |
| A2 | FS | FSYYMMddhhmm_vvv (INT=60min; alle 15 min) | Schneefallrate in cm/h |
| A2 | FQ | FQYYMMddhhmm_vvv (INT=360min; alle 15 min) | 6h-aufsummierte Schneefallrate in cm/6h |
| A2 | EX | raa01-ex_10000-YYMMD-Dhhmm-dwd---bin (INT=5min) | mitteleuropäische qualitätskorrigierte qualitative Radardaten analog WX, in qualitativen rvp-6-Einheiten, Codierung in 1 Byte |
| A2 | EZ | raa01-ez_10000-YYMMD-Dhhmm-dwd---bin (INT=5min) | mitteleuropäische quantitative Radardaten analog RZ |
| A2 | EY | raa01-ey_10000-YYMMD-Dhhmm-dwd---bin (INT=5min) | mitteleuropäische qualitätskorrigierte quantitative Radardaten analog RY |
| A2 | EH | raa01-eh_10000-YYMMD-Dhhmm-dwd---bin (INT=60min; alle 5 min) | mitteleuropäische quantitative Radardaten analog RH |
| A2 | EB | raa01-eb_10000-YYMMD-Dhhmm-dwd---bin (INT=60min) | mitteleuropäische quantitative Radardaten analog RB |
| A2 | EW | raa01-ew_10000-YYMMD-Dhhmm-dwd---bin (INT=60min) | mitteleuropäische quantitative Radardaten analog RW |

| Format | Erklärung |
|---------------|--|
| 3I2 | Zeitpunkt der Messung: Tag, Stunde und Minute (ddhhmm) in UTC |
| I5 | Radarstandort; für Komposit wird immer 10000 verwendet |
| 2I2 | Zeitpunkt der Messung: Monat und Jahr (MMYY) |
| A2 | Kennung "BY" |
| I7 | Produktlänge (in Byte); bei Version 4: I10; bei Version 5: I7 oder I10 (s. Kennung VS) |
| A2 | Kennung "VS" (falls nicht vorhanden, dann wurden als Grundlage zur Generierung des Komposits standort-bezogene Radardaten mit 100km Radius verwendet) |
| I2 | Format-Version: 0: sog. „Mischversion“ mit 100 km und 128 km Radius, bedingt durch die Erweiterung des quantitativen Messbereiches im Frühjahr 2000; 1: 100 km Radius; 2: 128 km Radius; 3: 150 km Radius (ab 30.06.2010 gesetzt; ab 17.03.2010 fälschlicherweise noch als 2 dokumentiert); 4: räumliche Auflösung in 250m und Produktlänge (in Byte) bei der Kennung BY mit 10 Stellen (I10); 5: WGS84-Georeferenzierung und Produktlänge (in Byte) bei der Kennung BY mit 10 Stellen (I10) für die Produkte RV, RS und RE (beim RQ, FS und FQ bleibt es bei 7 Stellen (I7) bei der Kennung BY) |
| A2 | Kennung "SW" |

| Format | Erklärung |
|---------------|---|
| 1X,A8 | Software-Version von RADOLAN - beginnend mit „00.01.00“ für die erste Testversion von RADOLAN - bzw. von den RADVOR-/POLARA-Versionen |
| A2 | Kennung "PR" |
| 1X,A4 | Genauigkeit der Daten: „E-00“ für ganze Zahlen, „E-01“ für 1/10; „E-02“ für 1/100 |
| A3 | Kennung "INT" |
| I4 | Intervalldauer in Minuten |
| A1 | Kennung "U"; nur bei den Produkten S2, S3, D2, D3, W1, W2, W3, W4, SM, SZ, SJ, SY, AM, %M, AZ, AJ, %J und %Y |
| I1 | Maßeinheit von "INT": 0 = Minuten, 1 = Tage |
| A2 | Kennung "GP" |
| A9 | Anzahl der Pixel im Ausschnittsgebiet: " 900x 900" für nationale Komposits, „1100x 900“ für erweiterte nationale Komposits, "1500x1400" für mitteleuropäische Komposits (Bedeutung: 1500 Zeilen und 1400 Spalten (s.a. Kap. 3.2)) |
| A2 | Kennung "VV" (Vorhersagezeitpunkt) |
| 1X,I3 | Vorhersagezeitpunkt in Minuten nach der Messung |
| A2 | Kennung "MF" (Modul Flags) |
| 1X,I8 | Dezimalwert der entsprechenden Binärdarstellung (Erklärung s. beim Produkt RV) |
| A2 | Kennung "QN" (Quantifizierungsart) |
| 1X,I3 | definierte Quantifizierungen (s. nachfolgende Tabelle) |
| A2 | Kennung "MS" |
| I3 | Textlänge m (max. 999) |
| Am | Text von m Zeichen; Radarstandortkürzel in spitzen Klammern s. Tabellen der verwendeten Radarstandortkürzel in Kap. 2 und 3; fester Text im RE: <***data_incomplete***> bei unvollständigen Daten in der Produktion; bei den Summenprodukten D2, D3, W1, W2, W3, W4, SM und SJ wird die Information, die bei den Summenprodukten SQ, SH und SF in der Kennung ST enthalten ist, in die Kennung MS aufgenommen: Radarstandortkürzel und Anzahl der Beiträge zu jedem Radar |
| A2 | Kennung "ST" |
| I3 | Textlänge m (max. 999) |
| Am | Text von m Zeichen; Radarstandortkürzel und Anzahl der zum Summenprodukt beteiligten Beiträge der einzelnen Radare (nur in den Produkten SQ, SH und SF) in spitzen Klammern; Radarstandortkürzel s. Tabellen der verwendeten Radarstandortkürzel in Kap. 2 und 3 (Anm.: beachte Fußnote ⁸ in Tabelle von Kap. 2) |
| A2 | Kennung „RM“ |
| I3 | Textlänge m (max. 999) |
| Am | Text von m Zeichen; Durch Semikolon getrennte Aufzählung der folgenden Raster-Metainformationen:<rows>;<cols>;(<ref-lat>,<ref-lon>);<ref-x-ofs>;<ref-y-ofs>;<projection> mit <rows>: Anzahl der Zeilen des Rasters <cols>: Anzahl der Spalten des Rasters (<ref-lat>,<ref-lon>): Geographische Referenz-Koordinate des Rasters <ref-x-ofs>: X-Abstand der Referenz-Koordinate zur linken unteren Ecke <ref-y-ofs>: Y-Abstand der Referenz-Koordinate zur linken unteren Ecke <projection>: Name der Projektion oder PROJ4-Definition |
| A1 | Char(3): "etx" |

Über die Modulflags (MF) wird ersichtlich, welche Module X (Modul1, Modul2, Modul3, etc.) zur Ableitung der (extrapolierten) Datensätze angewendet wurden, z.B. Extrapolation der Niederschlagsfelder aus POLARA Optical Flow (MODUL4); Bsp.: „MF 00000008“ bedeutet, dass nur das Modul 4 ($2^3=8$) angewendet wurde. Durch die achtstellige Angabe sind Kapazitäten für max. 27 verschiedene Module vorhanden. Durch die verschiedenen Verschneidungsmöglichkeiten der einzelnen Module zu einem Ergebnis ist eine dezimale Binärdarstellung unbedingt notwendig. Die **Definition neuer Module** ist bei der Produkterklärung RV und/oder RS erforderlich. Für die angeeichten Radarniederschlagsanalysen RW, RU und EW wird diese Headerkennung ab der RADOLAN-Version 2.16.0 (Operationalisierung am 31.08.2016) ebenfalls genutzt, wobei MF = 00000001 für die erste Version der Qualität dieser Produkte steht. Das Qualitätsverfahren ist die nachgeschaltete Clutterkorrektur auf das angeeichte Radarniederschlagsprodukt. Zur Vermeidung neuer Produktkennungen hat man sich auf diese Kennzeichnung festgelegt.

Die Quantifizierungsart (QN) soll zeigen, mit welchem mathematischen Ansatz die Quantifizierung nicht-angeeichter Radardaten zum RQ-Produkt erfolgt. Zusätzlich ist hier die Methode zur Bestimmung des Aggregatzustands für das RE-Produkt verschlüsselt. Die **Definition neuer Quantifizierungen** ist als dreistellige Ziffer erforderlich.

Die folgende Tabelle gibt einen Überblick über die derzeit definierten Werte für MF und QN.

| Kennung | Verfahren | Bit | Dec | Bemerkungen |
|---------|---------------------|-----|----------|---|
| MF | KONRAD | 1 | 00000001 | |
| MF | „Rosenow“ | 2 | 00000002 | <i>operationell bis 24.10.2019</i> |
| MF | Modellwinde | 3 | 00000004 | <i>nicht operationell</i> |
| MF | POLARA Optical Flow | 4 | 00000008 | |
| QN | RAVOQ2 | 1 | 001 | <i>In FS und FQ werden die Werte aus RQ und RE addiert.</i> |
| QN | RAVOQ3 | 2 | 002 | <i>In FS und FQ werden die Werte aus RQ und RE addiert.</i> |
| QN | Quasi-Aneichung | 3 | 004 | <i>In FS und FQ werden die Werte aus RQ und RE addiert.</i> |
| QN | Radarwetter | 4 | 008 | <i>In FS und FQ werden die Werte aus RQ und RE addiert.</i> |
| QN | HymecNG | 5 | 016 | <i>In FS und FQ werden die Werte aus RQ und RE addiert.</i> |

Anmerkungen:

- Die Anzahl der verfügbaren Modulflags ist bewusst größer gehalten als derzeit notwendig, um die Anwendung anderer Module zur Korrektur der Datensätze kenntlich machen zu können.*
- Die RADVOR-Produkte RV, RS, RQ, RE, FS und FQ haben die Headerkennungen VV und MF. Bei diesen Vorhersageprodukten wird mit der Datum-Zeit-Gruppe YYMMDDhhmm die Zeit angegeben, von dem Produkt die Vorhersage aus berechnet wird. Mit der Headerkennung VV bzw. des Dateinamensbestandteils vvv wird das Ende der vorhergesagten Zeit in Minuten nach der in der Datum-Zeit-Gruppe angegebenen Zeit definiert. Zusammen mit der Headerkennung INT ist dann eindeutig der zeitliche Bezug (Zeit des Beginns und des Endes der Vorhersage und Zeitintervall) der Vorhersagen zu erkennen.*
- Die Headerkennung QN gibt es nur beim RQ-, RE-, FS- und FQ-Produkt.*

- d) Die angezeichneten Radarprodukte RW, RU und EW haben mit der RADOLAN-Version 2.16.0 (operationalisiert am 31. August 2016, 08:30 UTC) ebenfalls die Headerkennung MF (Erklärung im 1. Absatz der vorhergehenden Seite).

1.2 Binärdaten

Es folgt ein binär codierter Datenblock mit 900 mal 900 Datensätzen für das nationale RADOLAN-Raster bzw. mit 1100 mal 900 für das erweiterte nationale RADOLAN-Raster bzw. mit 1500 mal 1400 für das mitteleuropäische RADOLAN-ME-Raster (s.a. Headerkennung GP). Der Datenblock beginnt mit dem Pixel in der linken unteren Ecke des Komposits.

Hinweis: Jeder Datensatz, mit Ausnahme der WW-, WX-, RX- und EX-Daten, besteht aus 2 Byte in „little endian“-Kodierung.

Die Größenordnung der Daten ergibt sich aus dem Header (s. Headerkennung PR).

| 13.-16. Bit | 1-12: Datenbits | Erklärung |
|-------------|--|--|
| 0000 | 0000 0000 0000 | 0 (kleinster darstellbarer Wert) |
| 0000 | 0000 1111 1111 | 255 |
| 0000 | 1111 1111 1111 | 4095 (größter darstellbarer Wert) |
| 0001 | 0000 0000 0000 bis 1111 1111 1111 | Bit 13 für Pixel aus sekundärem Datensatz (interpolierte Bodenniederschlagshöhen); Wert: 0 bis 4095 |
| 0001 | 0000 0000 0000 bis 0011 1110 1000 | RE: Bit 13 = Hagelflag; Wert (Anteil festen Niederschlags): 0 bis 1000 |
| 0010 | 1001 1100 0100 | Bit 14 für die Fehlkennung ³ ; Wert: 2500 |
| 0100 | 0000 0000 0001 | Bit 15 für negatives Vorzeichen gesetzt ⁴ ; z.B. Wert: -1 |
| 1000 | 0000 0000 0000 bis 0011 1110 1000 (RE) bzw. 1111 1111 1111 | RE, FS, FQ: Bit 16 markiert den Gültigkeitsbereich des zugehörigen RQ-Produkts (bis 24.10.2019) bzw. den Gültigkeitsbereich der zugrundeliegenden Radardaten in POLARA (ab 24.10.2019) |
| 1000 | 1001 1011 1010 | Bit 16 als Cluttermarkierung gesetzt ⁴ ; Wert: 2490 |

Anmerkung: Die früher ausschließlich mit dem Wert 2500 (Fehlkennung) bzw. dem Wert 2490 (Cluttermarkierung) gekennzeichneten Daten sind eindeutig mit der Bitbelegung (14 bzw. 16) identifizierbar.

Für die mit jeweils 1 Byte codierten WX-, RX- und EX-Daten gilt:

| 1-8: Datenbits | Erklärung |
|----------------|----------------------------------|
| 0000 0000 | 0 (kleinster darstellbarer Wert) |
| 1111 1111 | 255 (größter darstellbarer Wert) |
| 1111 1010 | Fehlkennung; Wert: 250 |
| 1111 1001 | Cluttermarkierung; Wert: 249 |

³ gültig erst für Ergebnisse der Online-Aneichung

⁴ nur in Produkt RD enthalten

Die Umrechnung von RVP6-Einheiten in dBZ erfolgt durch:

$$dBZ = \frac{RVP6}{2} - 32,5$$

Für die mit 4 Byte codierten WW-Daten gilt, dass jeder Datensatz des binären Datenblocks als 4-Byte langer Ganzzahlwert im Little-Endian Format abgespeichert wird. Der 6-stellige Dezimalwert #|###|### setzt sich aus den folgenden Teilkodierungen zusammen:

- Einem einstelligen Dezimalwert #|... zur Kodierung der Warnstufe des größten, an diesem Pixel überschrittenen dauerstufenbezogenen Schwellenwertes. Dabei bezeichnen die Werte 2, 3 und 4 Warnstufen und der Wert 9 kennzeichnet, dass keine Schwellenwertüberschreitung an diesem Pixel auftrat.
- Einem zweistelligen Dezimalwert ...|##|... zur Kodierung der kleinsten Dauerstufe, bei der die Warnstufe auftrat. Dabei bezeichnen die Werte 01, 03, 06, 12, 24, 48 und 72 die jeweilige Dauerstufe und der Wert 99 kennzeichnet, dass keine Schwellenwertüberschreitung an diesem Pixel auftrat.
- Einem dreistelligen Dezimalwert ...|###|, der aufzeigt, für welche Dauerstufen ebenfalls eine Schwellenwertüberschreitung vorlag.

Beispiele:

1. Der Wert 999999 kennzeichnet, dass an einem Pixel für keine Dauerstufe eine Schwellenwertüberschreitung vorliegt.
2. Der Wert 272172 kennzeichnet, dass an einem Pixel nur der Schwellenwert der Warnstufe 2 für die Dauerstufe 72h überschritten wurde.
3. Der Wert 272990 kennzeichnet, dass an einem Pixel nur der Schwellenwert der Warnstufe 2 für die Dauerstufe 72h überschritten wurde und einige Dauerstufen Fehlkennungen aufweisen.
4. Der Wert 99990 kennzeichnet, dass an diesem Pixel alle Dauerstufen Fehlkennungen aufweisen.

1.3 Georeferenzierung

1.3.1 Koordinatensystem und Projektion

Die nationalen Komposits liegen in polarstereografischer Projektion vor und haben in der Projektion eine äquidistante Rasterung von 1,0 km. Die Projektionsebene schneidet die Erdkugel bei 60,0°N (ϕ_0)⁵. Das kartesische Koordinatensystem besitzt eine Größe von 900 km x 900 km und ist parallel zum 10,0°E-Meridian (λ_0) ausgerichtet. Als Bezugspunkt wurde der Mittelpunkt des Komposits (λ_M , ϕ_M) mit 9,0°E und 51,0°N festgelegt. Als Referenzsystem wurde die Erde als Kugel mit einem Radius von 6370,04 km zu Grunde gelegt.

Mit Hilfe der folgenden Formeln werden die geografischen Bezugspunkte (λ , ϕ) der einzelnen Rasterflächen in die entsprechenden kartesischen Koordinaten der stereografischen Projektion umgewandelt (x , y) ist dabei der Abstandsvektor zum Nordpol im kartesischen Koordinatensystem:

$$x = R \cdot M(\phi) \cdot \cos \phi \cdot \sin(\lambda - \lambda_0)$$

$$y = -R \cdot M(\phi) \cdot \cos \phi \cdot \cos(\lambda - \lambda_0)$$

mit $M(\phi)$ als stereografischer Skalierungsfaktor, der wie folgt definiert ist:

$$M(\phi) = \frac{1 + \sin(\phi_0)}{1 + \sin(\phi)}$$

⁵ Umrechnung Grad / Bogenmaß: $\lambda[rad] = \lambda[^\circ] \cdot \pi/180$

Definiert man den Punkt (10°E, 90°N) als Ursprung des kartesischen Koordinatensystems, so entsprechen die Zahlenwerte von x und y den Koordinaten im kartesischen Koordinatensystem.

Die weiteren Koordinaten berechnen sich unter Kenntnis der äquidistanten Rasterweite d von 1 km in der Projektion zu:

$$x = x_0 + d (j - j_0)$$

$$y = y_0 + d (i - i_0)$$

mit i, j als Indices der kartesischen Koordinaten.

Die kartesischen Abstandskordinaten (x, y) eines Datenpunktes können mit Hilfe der folgenden Formeln in die geografischen Koordinaten (λ, ϕ) transformiert werden:

$$\lambda = \arctan\left(\frac{-x}{y}\right) + \lambda_0$$

$$\phi = \arcsin\left(\frac{R^2 \cdot (1 + \sin\phi_0)^2 - (x^2 + y^2)}{R^2 \cdot (1 + \sin\phi_0)^2 + (x^2 + y^2)}\right)$$

Die folgende Tabelle gibt die Werte der Eckpunkte des nationalen Komposits in den beiden Koordinatensystemen wieder. Der Ursprung des kartesischen Koordinatensystems liegt bei (10°E, 90°N).

| Ecke / Koordinate | λ | ϕ | x | y |
|--------------------|-----------|-----------|-----------|-----------|
| linke untere Ecke | 3,5889°E | 46,9526°N | -523,4622 | -4658,645 |
| rechte untere Ecke | 14,6209°E | 47,0705°N | 376,5378 | -4658,645 |
| rechte obere Ecke | 15,7208°E | 54,7405°N | 376,5378 | -3758,645 |
| linke obere Ecke | 2,0715°E | 54,5877°N | -523,4622 | -3758,645 |

Für die mitteleuropäischen Komposits ist die Tabelle bei 3.2 hinterlegt.

1.3.2 Verortung der Raster

Beim Kugel-Erdmodell wird eine Kugel mit Radius 6370040 m als Erdmodell verwendet. Das nationale RADOLAN-Raster mit 900 mal 900 Datensätzen hat in der linken unteren Ecke die geografischen Koordinaten 46.9526°N und 3.5889°E (s.a. Abb. 1). Beim WGS84-Erdmodell wird der sogenannte WGS84-Ellipsoid als Erdmodell verwendet. Bei den im WGS84-Erdmodell⁶ produzierten Komposits (zu erkennen durch die Kennung VS = 5 im ASCII-Header, s. Kap. 1.1) ergeben sich folgende, gegenüber der Tabelle in Kap. 1.3.1 geänderte Eckkoordinaten:

| Ecke / Koordinate | λ | ϕ |
|--------------------|---------------|---------------|
| linke untere Ecke | 3,604382997°E | 46,95361533°N |
| rechte untere Ecke | 14,60482286°E | 47,07156997°N |
| rechte obere Ecke | 15,69697166°E | 54,73806893°N |
| linke obere Ecke | 2,095883211°E | 54,58546706°N |

⁶ Als erste Komposits der in diesem Dokument beschriebenen RADOLAN- und RADVOR-Produkte wurden die Produkte RV, RS, RQ, RE, FS und FQ am 13. Oktober 2022 vom Kugel-Erdmodell auf das WGS84-Erdmodell umgestellt.

Km-Raster (RADOLAN national)

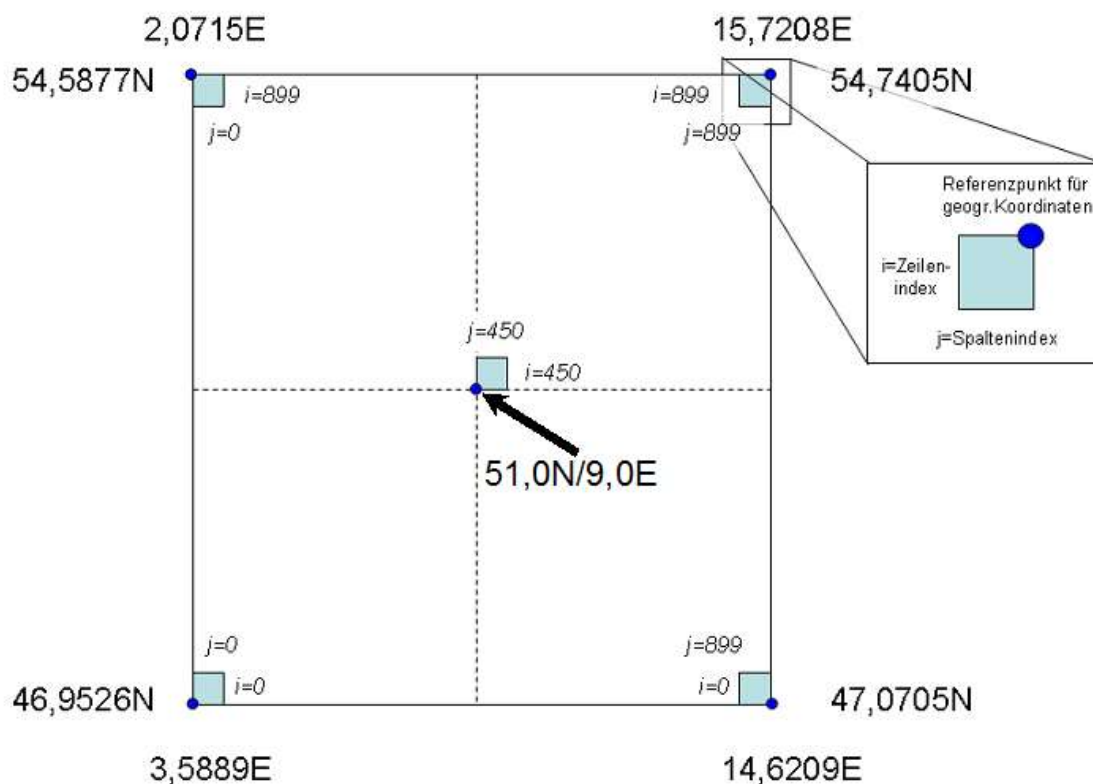


Abbildung 1: 1 x 1 km-Raster des nationalen Komposits (RADOLAN-Raster)

Das erweiterte nationale RADOLAN-Raster mit 1100 mal 900 Datensätzen hat in der linken unteren Ecke die geografischen Koordinaten 46.1929°N und 4.6750°E (s.a. Abb. 2).

km-Raster (RADOLAN, erweitertes nationales Komposit)

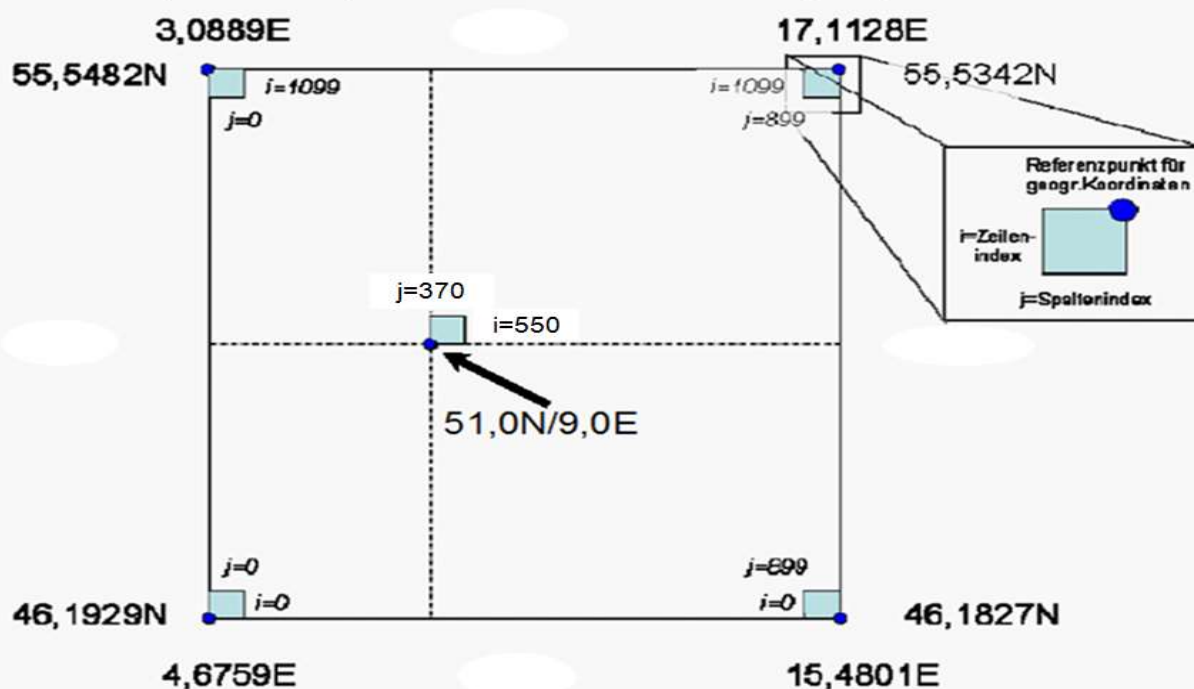


Abbildung 2: 1 x 1 km-Raster des erweiterten nationalen Komposits (erweitertes RADOLAN-Raster)

Das erweiterte nationale Komposit ist gegenüber dem nationalen Komposit räumlich um jeweils 100 km nach Norden und Süden erweitert und um 80 km nach Osten verschoben. Die räumliche Ausdehnung deckt das Gebiet ab, welches aus dem kompletten Erfassungsbereich aller lokalen quantitativen Radardaten des DWD-Radarverbundnetzes mit einer Reichweite von 150 km Radius um den Radarstandort gewonnen wird.

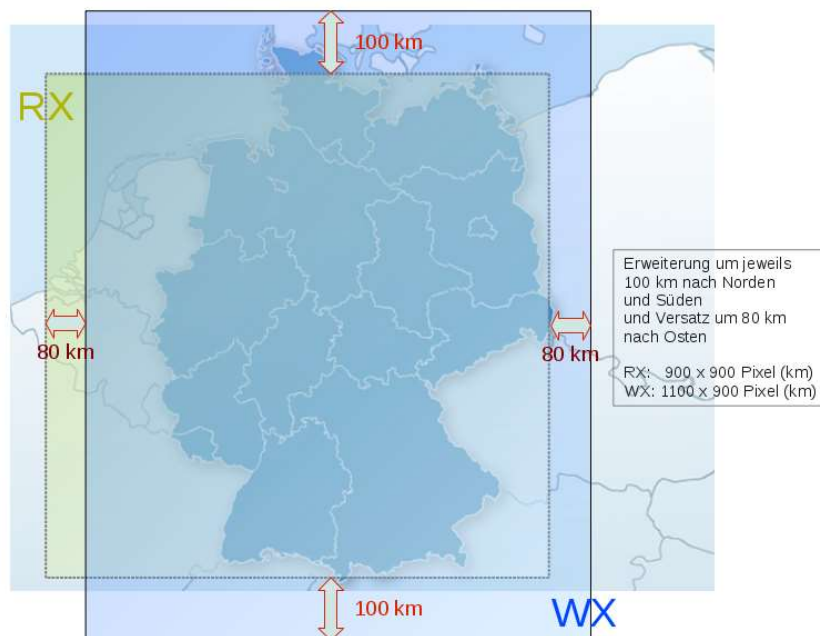


Abbildung 3: Erklärung des räumlichen Unterschiedes zwischen den beiden nationalen Kompositgrößen am Beispiel der beiden Produkte RX (nationales Komposit) und WX (erweitertes nationales Komposit)

1.4 Darstellung in ArcGIS

Für die Darstellung der RADOLAN-Daten in ArcGIS⁷ sind zwei Vorgehensweisen möglich. Werden die Rasterdaten zusammen mit den kartesischen Koordinaten (x,y) eingelesen, sind folgende Einstellungen zur Definition der zu Grunde liegenden polarstereografischen Projektion zu treffen:

- PROJECTION[“Stereographic_North_Pole”]
- PARAMETER[“central_meridian_1”, 10.0]
- PARAMETER[“standard_parallel_1”, 60.0]
- PARAMETER[“latitude_of_origin”, 90.0]
- PARAMETER[“scale_factor”, 1.0]
- PARAMETER[“false_easting”, 0.0]
- PARAMETER[“false_northing”, 0.0]
- UNIT[“km”, 1000.0]
- DATUM: Für das Referenzkoordinatensystem gibt es in ArcGIS keine Voreinstellung. Definieren Sie hierzu bitte ein eigenes Referenzkoordinatensystem unter Angabe des Erdradius (R=6370040m) und der Exzentrizität ($\epsilon=0$ für eine Kugel).

Lesen Sie die Rasterdaten zusammen mit den geografischen Koordinaten (λ, φ) ein, so geben Sie ein geografisches Kartendatum (keine Projektion) vor.

⁷ Die Einstellungen wurden für die Version 9.3 getestet.

1.5 Geografische Dateien

Folgende Dateien zur geografischen Einordnung der quantitativen Radarkomposits mit dem Kugel-Erdmodell sind verfügbar:

- https://opendata.dwd.de/climate_environment/CDC/help/RADOLAN/Unterstuetzungsdokumente/RADOLAN-Raster.zip mit *phi_center.txt* (geografische Breite der Rastermittelpunkte), *lambda_center.txt* (geografische Länge der Rastermittelpunkte), *phi_bottom.txt* (geografische Breite der linken unteren Eckpunkte der Raster) und *lambda_bottom.txt* (geografische Länge der linken unteren Eckpunkte der Raster)
- Shape-Dateien zur Darstellung des RADOLAN-Gebietsrahmens bzw. -rasters in ArcGIS auf https://opendata.dwd.de/climate_environment/CDC/help/RADOLAN/Unterstuetzungsdokumente/RADOLAN-GIS.zip

2. Tabelle der verwendeten deutschen Radarstandortkürzel im ASCII-Header

| Radar-stand-ortkür-zel⁸ | WMO-Kenn-ziffer | Radarstand-ort | Geografische Koordinaten (nördliche Breite und östliche Länge in Grad, Minuten und Sekunden) [„WGS 84“] | Operationelle Betriebsdaten |
|---|------------------------|--------------------------|--|--|
| asb | 10103 | ASR Borkum | 53° 33' 50,44"; 06° 44' 53,85" 53° 33' 50,87"; 06° 44' 53,94" | vom 27.02.2018 bis 12.04.2021 ab 04.05.2021 (dual-pol) |
| asd | 10487 | ASR Dresden | 51° 07' 26,5"; 13° 45' 48,5" | vom 31.07.2014 bis 17.03.2015 |
| ase | 10412 | ASR Essen | 51° 24' 18,5"; 06° 57' 49,8" | vom 04.03.2010 bis 11.04.2012 |
| asf | 10907 | ASR Feldberg | 47° 52' 21,3"; 08° 00' 24,6" | vom 13.06.2012 bis 20.11.2012 |
| asw | 10089 | ASR Rostock | 54° 10' 23,2"; 12° 06' 25,3" | vom 30.09.2013 bis 11.06.2014 |
| bln | 10384 | Berlin | 52° 28' 40,3"; 13° 23' 13" | vom 14.03.1991 bis 23.01.2014 |
| boo | 10132 | Boostedt | 54° 00' 15,8"; 10° 02' 48,8" | ab 23.01.2014 (dual-pol) |
| drs | 10488 | Dresden | 51° 07' 28,7"; 13° 46' 07,1" | vom 24.03.2000 bis 31.07.2014; ab 17.03.2015 (dual-pol) |
| eis | 10780 | Eisberg | 49° 32' 26,4"; 12° 24' 10,0" | vom 18.09.1997 bis 06.05.2014; ab 08.10.2014 (dual-pol) |
| emd | 10204 | Emden | 53° 20' 19,5"; 07° 01' 25,6" | ab 16.12.1994 bis 27.02.2018 |
| ess | 10410 | Essen | 51° 24' 20,3"; 06° 58' 01,6" | vom 21.03.1991 bis 04.03.2010; ab 11.04.2012 (dual-pol) |
| fbg | 10908 | Feldberg/ Schwarzwald | 47° 52' 25"; 08° 00' 13" | vom 20.06.1997 bis 13.06.2012; ab 20.11.2012 (dual-pol) |
| fld | 10434 | Flechtdorf | 51° 20' 06"; 08° 51' 09" (Europäisches Datum) | vom 10.10.1997 bis 10.05.2004 |
| fld | 10440 | Flechtdorf | 51° 18' 40,3"; 08° 48' 07,2" | vom 07.06.2004 bis 29.04.2014; ab 12.11.2014 (dual-pol) |
| fra | 10637 | Frankfurt/Main | 50° 03' 06"; 08° 34' 05" (Europäisches Datum) | vom 28.03.1988 bis 04.07.2007 |
| fri | 10630 | Frankfurt-Walldorf | 50° 01' 20,8"; 08° 33' 30,7" | vom 04.07.2004 bis 15.02.2011 |
| ham | 10147 | Hamburg | 53° 37' 16,5"; 09° 59' 47,6" | vom 07.06.1990 bis 23.01.2014 |
| han | 10338 | Hannover | 52° 27' 47"; 09° 41' 53,9" | vom 25.11.1994 bis 29.07.2014 |
| hnr | 10339 | Hannover | 52° 27' 36,3"; 09° 41' 40,3" | ab 29.07.2014 (dual-pol) |
| isn | 10873 | Isen | 48° 10' 28,9"; 12° 06' 06,4" | ab 22.01.2014 (dual-pol) |
| mem | 10950 | Memmingen | 48° 02' 31,7"; 10° 13' 09,2" | ab 03.04.2013 (dual-pol) |
| mhp | 10962 | Hohenpei- ßenberg | 47° 48' 05,45"; 11° 00' 33,46" | vom 25.01.2023 bis 23.03.2023 (dual-pol) |
| muc | 10871 | München | 48° 20' 10,9"; 11° 36' 42,1" | vom 22.01.1992 bis 22.01.2014 |
| neu | 10557 | Neuhaus | 50° 30' 00,4"; 11° 08' 06,1" | vom 01.12.1994 bis 11.04.2011; ab 10.01.2012 (dual-pol) |
| nhb | 10605 | Neuheilen- bach | 50° 06' 34,8"; 06° 32' 54,0" | vom 17.07.1998 bis 28.08.2013; ab 27.03.2014 (dual-pol) |
| oft | 10629 | Offenthal | 49° 59' 05,1"; 08° 42' 46,6" | ab 15.02.2011 (dual-pol) |
| pro | 10392 | Prötzel | 52° 38' 55,2"; 13° 51' 29,6" | ab 23.01.2014 (dual-pol) |
| ros | 10169 | Rostock | 54° 10' 32,4"; 12° 03' 29,1" | vom 02.01.1995 bis 30.09.2013; ab 11.06.2014 (dual-pol) |
| tur | 10832 | Türkheim | 48° 35' 07,4"; 09° 46' 57,6" | vom 22.10.1998 bis 08.04.2013; ab 09.12.2013 (dual-pol) |
| umd | 10356 | Ummendorf | 52° 09' 36,3"; 11° 10' 33,9" | vom 25.06.1996 bis 14.02.2013; ab 17.12.2013 (dual-pol) |

⁸ In RE, RV und RS mit Präfix de, z. B. deboos statt boo

Anm.: 1) Ausländische Radarstandorte sind in der Tabelle zu Kapitel 3 aufgeführt.

2) ASR = Ausfallsicherungsradar: Während der Erneuerung der alten Single- zu Dual-Pol-Doppler-Radaren im Rahmen des Projekts RadSys-E war ein ASR zur Aufrechterhaltung der Wetterüberwachung am Standort Essen, Feldberg, Rostock bzw. Dresden in der Zeit von 2010 bis 2015 in Betrieb. Das ASR wurde von 2018 bis 2021 als Ersatz des Radars Emden auf Borkum eingesetzt. Ab dem 04.05.2021 ist das ASR Borkum ein Dual-Pol-Doppler-Radar.

3) Der Radarstandort München (10871) hatte bis Ende 1997 die WMO-Kennziffer 10870.

4) Das Qualitätssicherungsradar Hohenpeißenberg (10962) ist temporär (vom 25.01.2023 bis 23.03.2023) als Ersatz für das längere Zeit ausgefallene Radar Memmingen (10950) in die operationelle RADOLAN-Routine integriert worden.

3. Erweiterung um benachbarte ausländische Radarstandorte

3.1 Integration des Radars Nancy

Als erster Schritt zu einem mitteleuropäischen quantitativen Radarniederschlagskomposit wurden fünfminütliche quantitative Radarniederschlagsdaten vom französischen Standort Nancy in das fünfminütliche RADOLAN-Produkt integriert. Das vom nationalen Wetterdienst Frankreichs (Météo France) betriebene Radar erfasst das vom DWD-Radarverbundnetz mit seinem quantitativen Messbereich nicht vollständig eingesehene Fluss-Einzugsgebiet der Mosel. Damit wird ein wesentlicher Beitrag für den grenzüberschreitenden Hochwasserschutz geleistet.

Darüber hinaus wird die Verfügbarkeit flächendeckender quantitativer Radarniederschlagsdaten im französisch-deutschen Grenzbereich gesteigert, die bei technischen Störungen bzw. Wartungen der drei DWD-Radargeräte an den Standorten Neuheilenbach, Offenthal und/oder Feldberg/Schw. zwangsläufig Einbußen erleidet.

3.2 Räumliche Erweiterung und Integration weiterer ausländischer Radare

Am 27. Mai 2009 erfolgte mit der Operationalisierung von RADOLAN-ME die räumliche Erweiterung des mitteleuropäischen Komposits. Darin enthalten sind – zusätzlich zu den DWD-Radaren – Radardaten aus Belgien, Frankreich, den Niederlanden und der Schweiz. Es besitzt eine Ausdehnung von 1500 Zeilen auf 1400 Spalten; ASCII-Header und Binärteil sind analog zum nationalen Komposit. Auch die Projektion und die zugehörigen Parameter sind identisch.

Am 31. Mai 2011 wurden tschechische Radardaten in das RADOLAN-ME-Verfahren integriert. Dänische und polnische Radardaten wurden am 30. Oktober 2013 in das qualitative RADOLAN-ME-Komposit EX aufgenommen. Die Integration dieser Daten in die quantitative RADOLAN-ME-Produktkette ist am 31. August 2016 erfolgt.

Mit der Integration österreichischer Radardaten in das RADOLAN-ME-Verfahren am 04. September 2017 ist eine komplette quantitative Erfassung aller Deutschland beeinflussenden Fluss-Einzugsgebiete mit Radardaten gewährleistet.

Seit dem 08.08.2018 wird das französische Radarkomposit in die quantitative RADOLAN-ME-Produktkette integriert. Dieses ersetzt die nicht mehr verfügbaren lokalen Radardaten aus Frankreich, so dass die kurzfristig entstandene Radar-Überdeckungslücke in Teilen Frankreichs nicht mehr besteht.

Folgende Tabelle gibt die in das RADOLAN-ME-Komposit eingehenden Radarstandorte wieder (Stand: 22.05.2015; Quelle aus [OPERA, 2015]):

| Radarstandortkürzel | WMO-Kennziffer | Radarstandort | Geografische Koordinaten (nördliche Breite und östliche Länge in dezimalen Grad) | Betreiber |
|----------------------------|-----------------------|---------------------------|---|------------------|
| abv | 07005 | Abbeville ⁹ | 50.1358/1.8347 | Météo France |
| ave | 07083 | Avesnois ⁹ | 50.1283/3.8119 | Météo France |
| tra | 07145 | Trappes ⁹ | 48.7739/2.0075 | Météo France |
| arc | 07167 | Arcis-Troyes ⁹ | 48.4622/4.3094 | Météo France |
| ncy | 07182 | Nancy ⁹ | 48.7158/6.5816 | Météo France |

⁹ oder als Komposit Frankreich

| | | | | |
|--|----------------------------------|------------------------------|---|--------------------|
| bgs | 07255 | Bourges ⁹ | 47.0586/2.3594 | Météo France |
| bla | 07274 | Blaisy ⁹ | 47.3552/4.7758 | Météo France |
| sly | 07381 | St. Nizier-Lyon ⁹ | 46.0663/4.4455 | Météo France |
| sem | 07461 | Sembadel-Le Puy ⁹ | 45.2900/3.7094 | Météo France |
| frc | 07000 | Komposit Frank- reich | - | Météo France |
| alb | 06661 | Albis ¹⁰ | 47.2850/8.5130 | Meteo Schweiz |
| lad | 06699 | La Dole ¹⁰ | 46.4260/6.1000 | Meteo Schweiz |
| mle | 06768 | Monte Lema ¹⁰ | 46.0420/8.8340 | Meteo Schweiz |
| sui | 06981 | Komposit Schweiz | - | Meteo Schweiz |
| deb | 06260 | De Bilt ¹¹ | 52.1017/5.1783 | KNMI (Niederlande) |
| den | 06234 | Den Helder ¹¹ | 52.9533/4.7899 | KNMI (Niederlande) |
| nld | 06260 | Komposit Nieder- lande | - | KNMI (Niederlande) |
| zav | 06451 | Zaventem ¹² | 50.9010/4.4510 | KMI (Belgien) |
| wid | 06477 | Wideumont ¹² | 49.9140/5.5045 | KMI (Belgien) |
| bel | 06451 | Komposit Belgien | - | KMI (Belgien) |
| bdy | 11480 | Brdy-Praha | 49.6583/13.8178 | CHMI (Tschechien) |
| ska | 11718 | Skalky | 49.5011/16.7885 | CHMI (Tschechien) |
| leg | 12374 | Legionowo | 52.4052/20.9609 | IMGW (Polen) |
| ram | 12514 | Ramza | 50.1517/18.7267 | IMGW (Polen) |
| pas | 12544 | Pastewnik | 50.8920/16.0395 | IMGW (Polen) |
| rze | 12579 | Rzeszow | 50.1138/22.0367 | IMGW (Polen) |
| poz | 12331 | Poznan | 52.4133/16.7971 | IMGW (Polen) |
| swi | 12220 | Swidwin | 53.7903/15.8311 | IMGW (Polen) |
| Radar- standort- kürzel | WMO- Kenn- ziffer | Radarstandort | Geografische Koordinaten (nördliche Breite und östliche Länge in dezimalen Grad) | Betreiber |
| gda | 12151 | Gdansk | 54.3843/18.4563 | IMGW (Polen) |
| brz | 12568 | Brzuchania | 50.3942/20.0797 | IMGW (Polen) |
| ste | 06180 | Stevns | 55.3262/12.4493 | DMI (Dänemark) |
| rom | 06096 | Römö | 55.1731/8.5520 | DMI (Dänemark) |
| sin | 06034 | Sindal | 57.4893/10.1365 | DMI (Dänemark) |
| bor | 06194 | Bornholm | 55.1127/14.8875 | DMI (Dänemark) |

¹⁰ oder als Komposit Schweiz¹¹ oder als Komposit Niederlande¹² oder als Komposit Belgien

| | | | | |
|-----|-------|-------------------|-----------------|---|
| vir | 06103 | Virring | 56.0240/10.0246 | DMI (Dänemark) |
| aut | 11000 | Komposit reich | Öster- - | Austrocontrol bzw. ZAMG (Österreich) ¹³ |

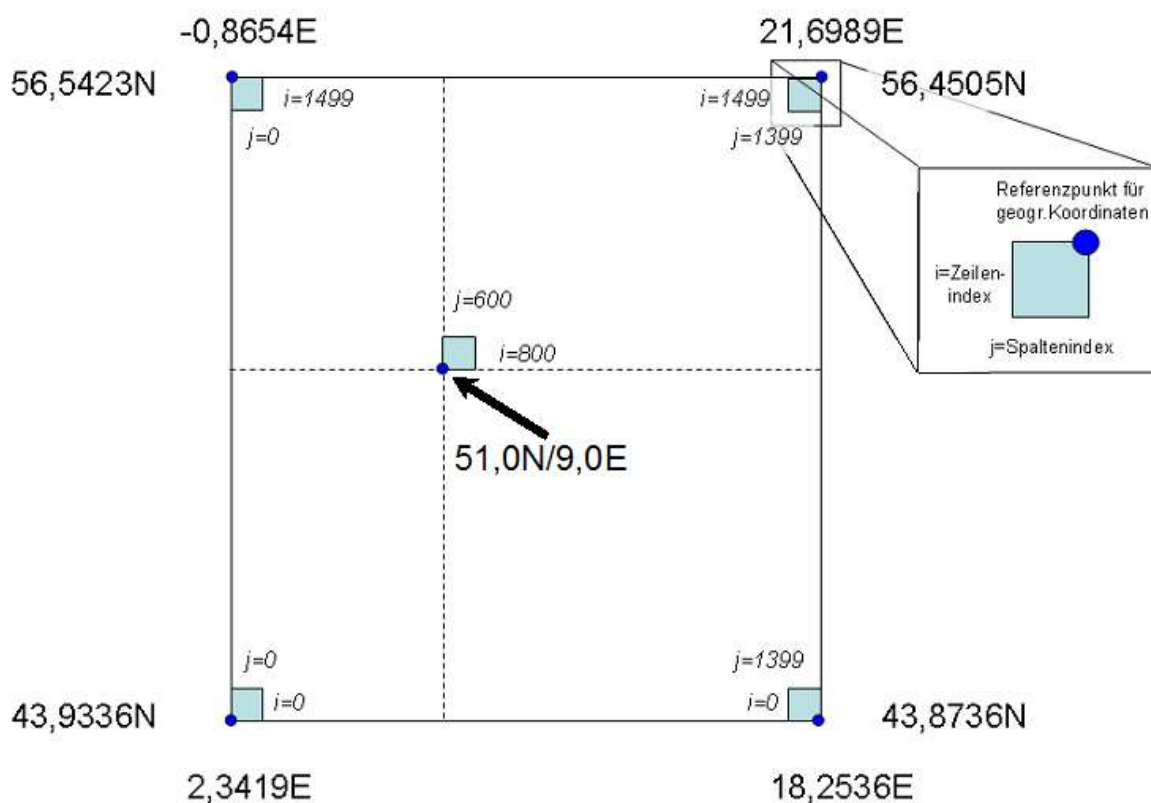


Abb. 4: 1 x 1 km-Raster des mitteleuropäischen Komposits (RADOLAN-ME-Raster)

Die folgende Tabelle gibt die Werte der Eckpunkte des mitteleuropäischen Komposits in den beiden Koordinatensystemen wieder (s. hierzu 1.3.1). Der Ursprung des kartesischen Koordinatensystems liegt bei (10°E, 90°N).

| Ecke / Koordinate | λ | φ | x | y |
|--------------------|-----------|-----------|--------------|--------------|
| linke untere Ecke | 2,3419°E | 43,9336°N | -673,4656656 | -5008,642536 |
| rechte untere Ecke | 18,2536°E | 43,8736°N | 726,5343344 | -5008,642536 |
| rechte obere Ecke | 21,6989°E | 56,4505°N | 726,5343344 | -3508,642536 |
| linke obere Ecke | -0,8654°E | 56,5423°N | -673,4656656 | -3508,642536 |

¹³ Das von Austrocontrol bereitgestellte qualitative Komposit geht nur in das EX-Produkt ein und steht nur für DWD-interne Zwecke zur Verfügung. Das von der ZAMG bereitgestellte, quantitativ aufbereitete INCA-Radarkomposit geht in die quantitativen mitteleuropäischen Radarkomposits EZ, EY, EH, EB und EW ein.

4. Verschiedenes

4.1 Informationen im ASCII-Header

Für neue feste fachliche Informationen ist im ASCII-Header noch genug Platz für weitere Kennungen, die möglichst im A2-Format erfolgen und zwingend nach der Kennung VS direkt vor der Kennung MS eingefügt werden sollen. MS bzw. die Liste der verwendeten Radarstandorte müssen den letzten Teil des Headers vor "etx" bilden, da es sich hier um den einzigen Header-Abschnitt mit variabler Länge handelt. Die bei aus einzelnen Radarprodukten aufsummierten Radarkomposits verwendete Kennung ST ist ebenfalls ein Header-Abschnitt mit variabler Länge und kann als einzige Ausnahme auch nach dem Header-Abschnitt MS erfolgen.

4.2 Nachaneichung und Übersicht der Aneichstationen

Einmal täglich (sog. Routine-Fall bzw. Nachaneichung) wird im Rahmen des RADOLAN-Verfahrens eine Berechnung mit den vollständig zur Verfügung stehenden Bodenniederschlagsdaten für den vergangenen Niederschlagstag durchgeführt. Als Ergebnis erhält man stündliche und von ausgewählten Produkten (RR, RO, RZ, RB, RA, RM und RW) auch tägliche (aus den 24 Stunden aufsummierte) Kompositdaten.

Seit April 2021 werden auch Ombrometerdaten aus Belgien zur Aneichung verwendet (s. Abb. 5). Damit ist auch für das quantitative, an Stationen angeeichte, mitteleuropäische RADOLAN-Produkt EW die bestmögliche, die Stationsdaten betreffende Qualität erreicht.

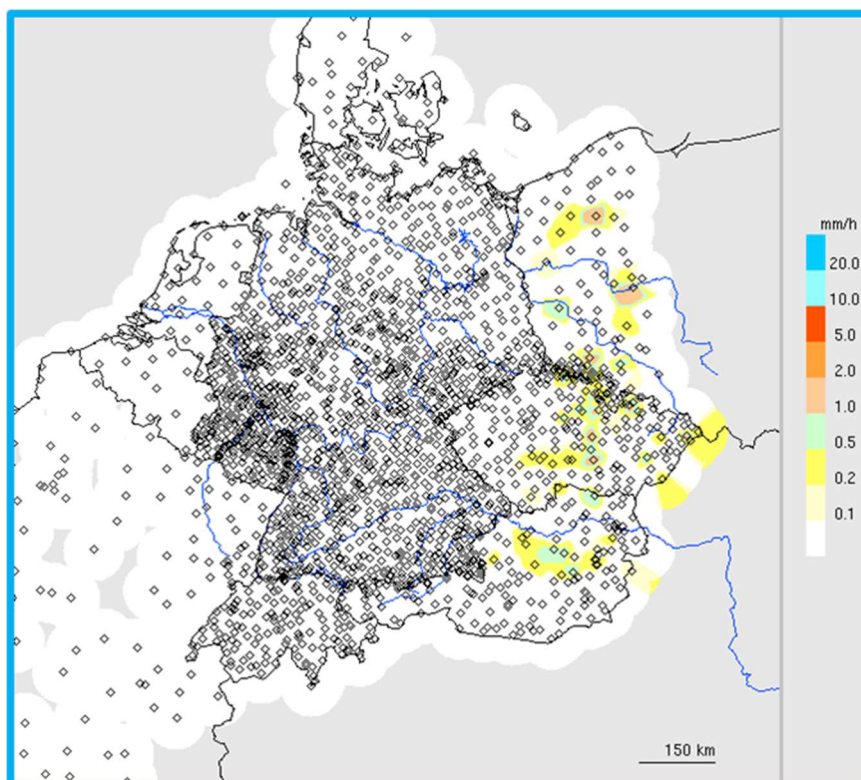


Abb. 5: Übersicht der Aneichstationen für die mitteleuropäische Aneichung der Radardaten im RADOLAN-ME-Verfahren mit der Niederschlagsanalyse aus interpolierten Stationsmessungen für 13:50 UTC am 03.04.2021

4.3 Radarklimatologie und Starkniederschlagskatalog

Für die klimatologische Auswertung wurden im Rahmen der Radarklimatologie (s. www.dwd.de/rad-klim) ausgewählte RADOLAN-Produkte ab 2001 zurückreichend mit der jeweils aktuellen operationellen RADOLAN-Version berechnet. Dabei wird der erweiterte nationale RADOLAN-Ausschnitt (s. Abb. 2 und 3) als Ausgabe verwendet. Gegenüber dem nationalen RADOLAN-Ausschnitt ist das Gebiet um jeweils 100 km nach Norden und Süden vergrößert und um 80 km nach Osten verschoben. Damit deckt die räumliche Ausdehnung das Gebiet ab, welches nach Abschluss des Projekts RADSYS-E aus dem kompletten Erfassungsbereich aller lokalen quantitativen Radardaten des DWD-Radarverbundnetzes mit einer Reichweite von 150 km Radius um den Radarstandort gewonnen wird (s. Abb. 6).

Die radarbasierte Niederschlagsklimatologie wird vom DWD regelmäßig weitergeführt. Die Nachführung der Radarklimatologie für das abgelaufene Jahr wird planmäßig jeweils im Frühjahr verfügbar sein. Auf der Basis dieser Daten werden jährlich Kataloge radar-basierter starker Niederschlagsereignisse erstellt. Diese sind die Grundlage für die Analyse des Starkregengeschehens und seines Schadenpotenzials in Deutschland seit 2001 (s. www.dwd.de/catrare). Seit 2021 wird jährlich ein RADKLIM-Bulletin erstellt, welches einen Überblick über die extremen Niederschlagsereignisse seit 2001 und insbesondere des jeweils vergangenen Jahres gibt. Das RADKLIM-Bulletin kann per RSS-Feed abonniert werden: www.dwd.de/radklim-rss.

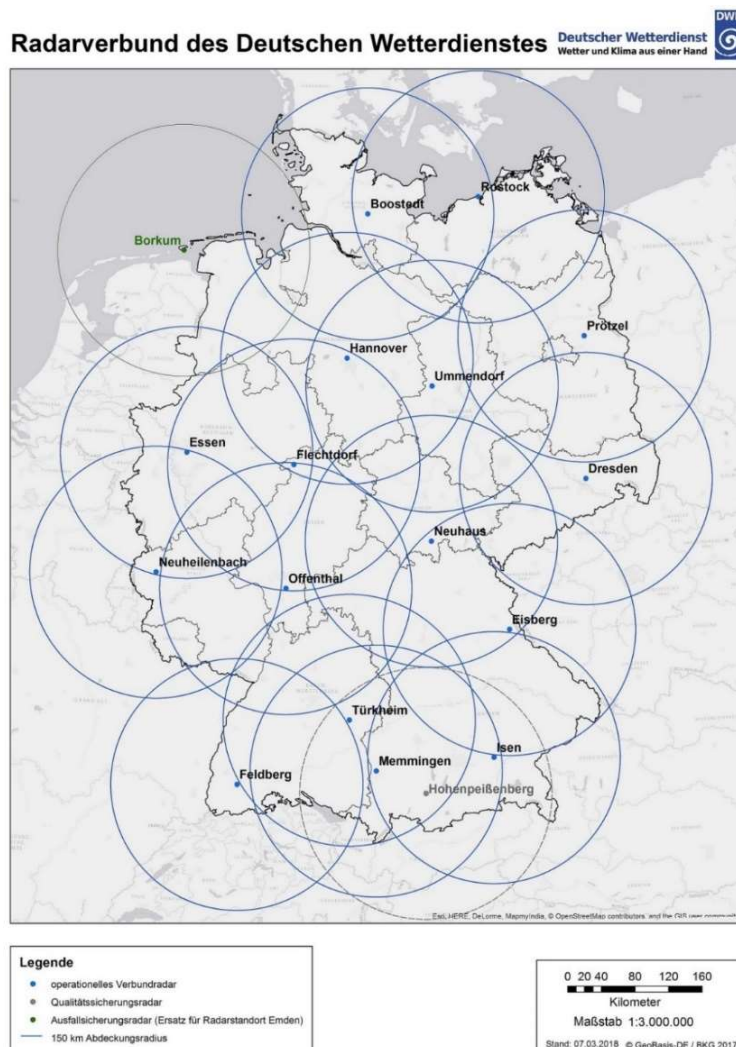


Abb. 6: Wetterradarmessnetz des DWD mit 18 C-Band Radarsystemen und den zugehörigen 150 km-Radius-Erfassungsbereichen, welche außer dem Qualitätssicherungsradar Hohenpeißenberg (Ausnahme s. Kap. 2) für die quantitative Niederschlagsauswertung im Rahmen von RADOLAN verwendet werden

5. Literaturverzeichnis

- DWD, 2004: Abschlußbericht des Projektes RADOLAN, s. im Internet unter der Adresse <http://www.dwd.de/RADOLAN>
- DWD, 2005a: Abschlußbericht des Projektes RADVOR-OP, s. im Internet unter der Adresse <http://www.dwd.de/radvor>
- DWD, 2005b: Feinspezifikation für die Erstellung eines Qualitätskomposits, Version 3.2
- DWD, 2011: IDLRaBiD 5.1 - Darstellungsprogramm für Radarbilder des Deutschen Wetterdienstes, s.a. https://opendata.dwd.de/climate_environment/CDC/help/RA-DOLAN/
- MF, 2005: s. Internetadresse http://eumetnet.eu/wp-content/themes/aeron-child/observations-programme/current-activities/opera/database/OPERA_Database/index.html
- OPERA, 2015: European Weather Radars s. http://eumetnet.eu/wp-content/themes/aeron-child/observations-programme/current-activities/opera/database/OPERA_Database/index.html
- E. Weigl, Winterrath, T., 2009: Radargestützte Niederschlagsanalyse und -vorhersage (RADOLAN, RADVOR-OP) in promet „Moderne Verfahren und Instrumente der Wettervorhersage im Deutschen Wetterdienst“ (35. Jahrgang, Heft 1-3, 2009), s.a. www.dwd.de/promet
- Winterrath T. et al., 2012: On the DWD quantitative precipitation analysis and nowcasting system for real-time application in German flood risk management. Weather Radar and Hydrology, IAHS Publ. 351
- E. Weigl, Winterrath, T., 2014: Radar-Based Precipitation Climatology for Germany – First Results and Future Directions, s.a. http://www.pa.op.dlr.de/e-rad2014/programme/ShortAbstracts/065_short.pdf
- Weitere Veröffentlichungen s. auf https://www.dwd.de/DE/leistungen/radolan/radolan_info/home_veroeffentlichungen_radolan.html;jsessionid=942E2D97A4216B31648B778C3EAEC8FD.live11042?nn=16102&lsbld=617848